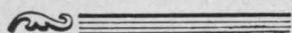
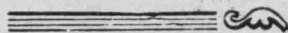


Вестник МОСКОВСКОГО УНИВЕРСИТЕТА



№ 2 — 1966



УДК 551.46.08

Г. Г. ХУНДЖУА, А. Г. ВОСКАНЯН, Р. Р. СУЛТАНБЕКОВА

К РАСЧЕТУ ГЕЛИКОИДАЛЬНЫХ ВИНТОВ ГИДРОМЕТРИЧЕСКИХ ВЕРТУШЕК

Дан теоретический расчет движения геликоидального винта в потоке. Получено выражение, связывающее скорость потока с угловой скоростью вращения винта. Даны графики градуировки вертушки.

При решении многих задач в гидрофизике широкое применение находят различные виды гидрометрических вертушек. В практике все чаще стали применяться вертушки с лопастями, имеющими форму винтовой поверхности (например, серия вертушек Жестовского и др. [1, 2]). Вертушки с геликоидальными лопастями в определенных интервалах измерения должны бы иметь некоторые преимущества, поскольку имеют скользящую поверхность. Однако до последнего времени в литературе не приводятся данные по теоретическому описанию движения геликоидальных винтов в потоке.

В 1962 г. на кафедре физики моря и вод суши физического факультета МГУ была разработана и построена вертушка с лопастями, имеющими форму винтовой поверхности, а также проведен теоретический расчет движения винта вертушки в потоке и получено аналитическое выражение, связывающее скорость потока с угловой скоростью вращения вертушки и параметрами винта. Одновременно была разработана электронная схема дискретного и непрерывного отсчета скоростей потоков.

Выражение для изменения момента количества движения вертушки можно записать в виде

$$I_z \dot{\omega}_z = M_z, \quad (1)$$

где I_z — момент инерции вертушки относительно оси z , ω_z — угловая скорость и M_z — сумма моментов внешних сил относительно оси z . В дальнейшем для простоты будем опускать индекс z .

Определим момент инерции вертушки. Лопасти винта в нашем случае имеют форму винтовой поверхности с шагом h . Уравнения данной поверхности в параметрическом виде будут:

$$x = r \cos \varphi, \quad y = r \sin \varphi, \quad z = h\varphi, \quad (2)$$

где r — расстояние точки N от оси z , φ — угол поворота (см. рис. 1). По определению, элементарный момент инерции ΔI элемента площади ΔS с плотностью ρ винтовой поверхности будет

$$\Delta I = r^2 \rho \Delta S, \quad (3)$$

где

$$\Delta S = \frac{r dr d\varphi}{\cos(\widehat{nz})} \quad \text{и} \quad \cos(\widehat{nz}) = \frac{r}{\sqrt{r^2 + h^2}}.$$

Подставляя в (3) значение ΔS и $\cos(\widehat{nz})$ и производя двойное интегрирование, получим выражение для полного момента инерции винта

$$I = \iint_{\sigma} \frac{\rho r^3 dr d\varphi}{\cos(\widehat{nz})} = \iint_{\sigma} \rho r^2 \sqrt{r^2 + h^2} dr d\varphi =$$

$$= 2\pi \rho \left[\frac{r}{8} (2r^2 + h^2) \sqrt{r^2 + h^2} - \frac{h^4}{8} \ln(r + \sqrt{r^2 + h^2}) \right]_{R_1}^R, \quad (4)$$

где R_1 — радиус оси винта.

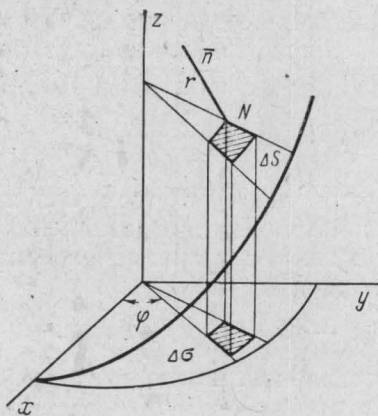


Рис. 1

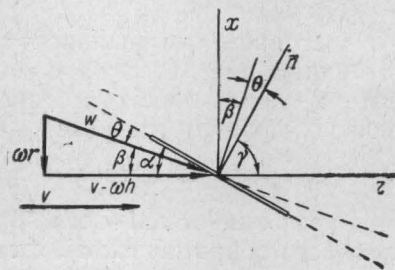


Рис. 2

Если пренебречь моментом инерции оси вертушки, т. е. $R_1 \ll R$, то выражение (4) примет вид

$$I = 2\pi \rho \left[\frac{R}{8} (2R^2 + h^2) \sqrt{R^2 + h^2} - \frac{h^4}{8} \ln \frac{R + \sqrt{R^2 + h^2}}{h} \right]. \quad (5)$$

Для определения правой части уравнения (1) рассмотрим моменты гидродинамических сил, действующих на винт со стороны потока. Предварительно найдем выражение для относительной скорости потока. Обозначим через v абсолютную скорость потока, набегающего на винт параллельно оси вертушки (см. рис. 2).

Тогда относительная скорость, с которой элемент винтовой поверхности Δs встречает поток, будет

$$w = \sqrt{(v - \omega h)^2 + (\omega r)^2}, \quad (6)$$

где ωr — линейная скорость вращения элемента Δs , а ωh — скорость элемента по оси z (см. (2)). На рис. 2 показан след элемента винтовой поверхности Δs в потоке. Из рисунка видно, что угол атаки $\theta = \alpha - \beta$, а значение угла γ можно выразить через параметры винта [3]

$$\gamma = \arccos \frac{r}{\sqrt{r^2 + h^2}}, \quad \text{или} \quad \gamma = \arcsin \frac{h}{\sqrt{r^2 + h^2}}.$$

Будем полагать, что суммарный момент внешних сил M состоит из двух величин: момента подъемной силы, действующей на лопасть винта M_b , и момента сил трения в подшипниках вертушки M_T .

Элементарный момент M_b гидродинамической силы, действующей на элемент поверхности винта Δs , по определению момента, равен [4]

$$\Delta M_b = r c_x \rho_b \omega^2 \Delta s \sin \gamma, \quad (7)$$

где ρ_b — плотность набегающей среды, c_x — коэффициент сопротивления. Отсюда полный момент гидродинамических сил, действующих на винт с учетом значений ω , Δs и $\sin \gamma$, будет

$$\begin{aligned} M_b &= \rho_b c_x \int_0^{2\pi} \int_0^R r h [(v - \omega h)^2 + (\omega r)^2] d\varphi dr = \\ &= \pi \rho_b c_x h R^2 \left[(v - \omega h)^2 + \frac{(\omega R)^2}{2} \right]. \end{aligned} \quad (8)$$

Момент сил трения можно определить следующим образом. Если учитывать, что момент сил трения создается только за счет трения в пяте опорного подшипника, то, согласно [5],

$$M_T = \frac{2}{3} \mu p R, \quad (9)$$

где μ — постоянный коэффициент трения между торцом оси и пятой, p — давление в пяте, создаваемое силой лобового сопротивления винта. Элементарная сила лобового сопротивления, создаваемая потоком, для винтовой поверхности имеет вид (см. рис. 2)

$$\Delta f_z = c_z \rho_b \omega^2 \Delta s \cos \gamma = c_z \rho_b [(v - \omega h)^2 + (\omega r)^2] r dr d\varphi,$$

где c_z — коэффициент лобового сопротивления. Следовательно, полная сила лобового сопротивления будет

$$\begin{aligned} F_z &= \int \int \Delta f_z = c_z \rho_b \int_0^{2\pi} \int_0^R [(v - \omega h)^2 + (\omega r)^2] r dr d\varphi = \\ &= \pi c_z \rho_b R^2 \left[(v - \omega h)^2 + \frac{(\omega R)^2}{2} \right]. \end{aligned} \quad (10)$$

Тогда, давление в пяте $p = \frac{F_z}{\pi R_1^2}$ и момент сил трения, согласно (9) и (10), определится как

$$M_T = \frac{2\mu c_z \rho_b R^2}{3R_1} \left[(v - \omega h)^2 + \frac{(\omega R)^2}{2} \right]. \quad (11)$$

Подставляя в уравнение движения вертушки (1) выражения (8) и (11), получим

$$\dot{\omega} = \frac{k}{I} \left[(v - \omega h)^2 + \frac{(\omega R)^2}{2} \right], \quad (12)$$

где

$$k = \rho_b R^2 \left(h c_x \pi - \frac{2\mu c_z}{3R_1} \right).$$

Интегрирование уравнения (12) дает

$$\frac{2}{\sqrt{2} Rv} \operatorname{arctg} \frac{2\omega \left(h^2 + \frac{R^2}{2} \right) - 2vh}{\sqrt{2} Rv} = \frac{1}{I} \int k dt. \quad (13)$$

В стационарном случае при $t \rightarrow \infty$, $\int k dt \rightarrow 0$, тогда решение уравнения (13) для главного значения примет вид

$$\omega \left(h^2 + \frac{R^2}{2} \right) - vh = 0,$$

откуда окончательно получим

$$\omega = \frac{1}{h \left(1 + \frac{R^2}{2h^2} \right)} v. \quad (14)$$

Выражение (14) дает линейную связь между угловой скоростью вращения винта и абсолютной скоростью потока жидкости, причем коэффициент линейности определяется только параметрами винта. При разра-

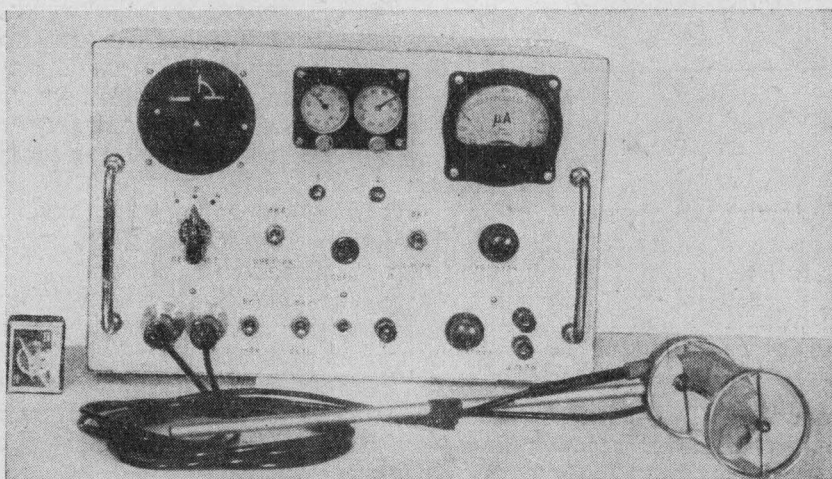


Рис. 3

ботке вертушки были изготовлены однозаходные и двухзаходные винты с шагом $h=100$ мм и радиусом 30 мм. Ось винтов имела шпильки из нержавеющей стали диаметром $d=0,7$ мм. Шпильки крепились в агатовых подшипниках с подпятниками. Подшипники укреплялись на общей латунной раме. На этой же раме крепилась осветительная лампочка и фотодиод ФД-1. На задний срез оси винта была насажена шестигранная призма с зеркальной поверхностью. Для регистрации угловой скорости вращения винта была разработана и построена специальная радиосхема.

Это указанное электронное устройство имело каналы дискретного и непрерывного отсчета показаний скоростей потоков. Относительная ошибка измерений в канале дискретного счета скорости потока определяется выражением $\eta = \frac{1}{n} 100\%$, где n — число импульсов за время измерения.

Задавая желаемую точность, можно определить необходимое число регистраций импульсов. По каналу непрерывной регистрации скоростей течения ошибка измерений составляет 5%. Показания прибора по дискретному каналу снимаются непосредственно со шкалы электро-механического счетчика СБ-1М/100, а по каналу непрерывной регистрации со шкалы микроамперметра М-49. В блоке предусмотрены выходные клеммы для включения шлейфового осциллографа. В схеме имеется блок программного включения измерительных каналов на 50 сек счета. Общий вид аппаратуры показан на рис. 3.

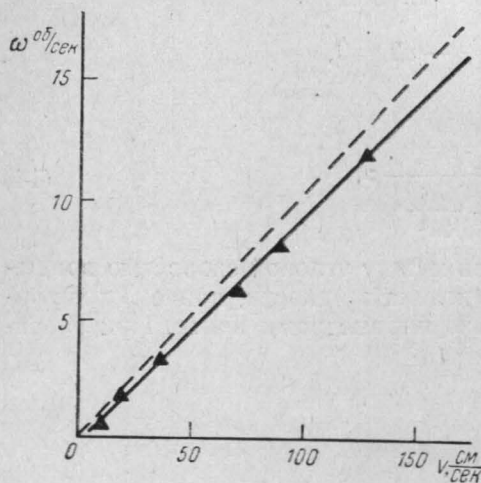


Рис. 4

Градуировка вертушки производилась в гидрофизической лаборатории кафедры физики моря на гидрометрическом лотке. Скорости потока в лотке измерялись стандартной трубкой Пито. На рис. 4 приведены графики ω как функции от v . Сплошной линией показан график, полученный при градуировке вертушки, а пунктиром — построенный по выражению (14). Как видно из приведенных графиков, точки градуировочной прямой достаточно хорошо совпадают с теоретической.

Градуировка вертушек также показала, что характеристики вертушек практически не отличаются для винтов с одним, двумя и четырьмя заходами, если параметры винтов h и R одинаковы.

Следует отметить, что в нашем случае дисковое отношение (отношение площади проекции лопастей вертушки к площади окружности ометаемой винтом) для геликоидального винта составляло 100%. В работах П. Н. Бурцева [6, 7] показано, что при дисковом отношении порядка 90—100% свойство компонентности вертушки не зависит от числа лопастей винта и дает минимальную ошибку в показаниях и обеспечивает максимальную чувствительность.

Градуировка всей аппаратуры производилась в интервале скоростей от 0,9 до 170 см/сек. Экспериментальное опробование прибора показало надежность работы всей аппаратуры и линейность характеристик в указанном диапазоне скоростей.

ЛИТЕРАТУРА

1. Снежинский В. А. Практическая океанография. Л., Гидрометиздат, 1954.
2. Железняков Г. В. Исследование работы гидрометрических приборов. М., Изд-во АН СССР, 1952.
3. Смирнов В. И. Курс высшей математики, т. II. М., Госиздат, 1956.
4. Жуковский Н. Е. Полн. собр. соч., т. VI, 1937.
5. Фихтенгольц Г. М. Курс дифференциального и интегрального исчисления, т. II. М., Гостехиздат, 1948.
6. Бурцев П. Н. Тр. гос. гидр. ин-та, вып. 64, 1957.
7. Бурцев П. Н., Голубев В. С. Тр. гос. гидр. ин-та, вып. 96, 1962.

Поступила в редакцию
13. 11 1964 г.

Кафедра
физики моря и вод суши